

ФИЗИКА ТВЕРДОГО ТЕЛА

УДК 537.312.8+543.253

ЭФФЕКТ ОБМЕННОГО УСИЛЕНИЯ В La_2CuO_4

А. А. Вихорев, М. А. Сазченко, Б. И. Садовников

(кафедра квантовой статистики)

Рассмотрен эффект обменного усиления магнитоупругого взаимодействия в перовскитовых структурах с тетрагональной симметрией. Магнитная подсистема представляет собой кластер из четырех подрешеток, образующих в кристалле две неэквивалентные плоскости. Получены коэффициенты магнот-фононной связи и спектр нормальных мод магнонов при коллинеарном антиферромагнитном упорядочении.

В последние годы на основе флуктуационной теории магнитных сверхпроводников была обоснована принципиальная возможность возникновения высокотемпературной сверхпроводящей фазы в магнитоупорядоченных кристаллах. Именно тогда был предсказан новый класс сверхпроводящих соединений со структурой перовскита, у которых температура фазового перехода в магнитоупорядоченное состояние оказывается выше, чем температура сверхпроводящего перехода. Этот класс соединений был впоследствии обнаружен экспериментально, их основой является соединение La_2CuO_4 .

Данная работа посвящена исследованию эффекта обменного усиления магнитоупругого взаимодействия в кристалле этого соединения при коллинеарном антиферромагнитном упорядочении. Эффект обменного усиления магнитоупругого взаимодействия в антиферромагнетике с двумя подрешетками был исследован в работе [1]. При исследовании упомянутого выше кристалла мы будем рассматривать магнитный кластер, образованный четырьмя подрешетками [2, 3].

Рассмотрим связанные магнон-фононные возбуждения в кристалле, характеризуемому пространственной группой симметрии D_{4h} и обладающему четырьмя магнитными подрешетками, с учетом обменного взаимодействия между последними. Такая система реализуется, в частности, в тетрагональном кристалле La_2CuO_4 . Общий вид гамильтониана, используемого для описания указанного вида систем, следующий:

$$\mathcal{H} = \mathcal{H}_M + \mathcal{H}_U + \mathcal{H}_{MU}, \quad (1)$$

где

$$\mathcal{H}_M = \frac{1}{2} \int d^3x \left\{ \tilde{J}_{ij}^{\alpha\beta} M_i^\alpha M_j^\beta + L_{imjn}^{\alpha\beta} M_{i,m}^\alpha M_{j,n}^\beta - 2 \sum_{\alpha=1}^4 (\mathbf{H}_0, \mathbf{M}^\alpha) \right\} \quad (2)$$

— гамильтониан магнитной подсистемы,

$$\mathcal{H}_U = \frac{1}{2} \int d^3x \{ \rho u^2 + \lambda_{iklm} u_{ik} u_{lm} \} \quad (3)$$

— гамильтониан упругой подсистемы,

$$\mathcal{H}_{MU} = \int dx \{ \tilde{b}_{iimn}^{\alpha\beta} M_i^\alpha M_j^\beta u_{mn} \} \quad (4)$$

— гамильтониан магнитоупругого взаимодействия. Греческие индексы здесь обозначают номер магнитной подрешетки в кластере и принимают значения от 1 до 4. Тензор $\tilde{J}_{ij}^{\alpha\beta} = \Gamma_{ij}^{\alpha\beta} + Q_{ij}^{\alpha\beta}$ содержит тензор об-

менного (нерелятивистского) взаимодействия $\Gamma_{ij}^{\alpha\beta}$ и тензор релятивистского взаимодействия $Q_{ij}^{\alpha\beta}$, которое обусловлено спин-орбитальным (определяющим магнитную анизотропию) и магнитоэлектрическим взаимодействиями. Для диагонализации гамильтониана необходимо сделать преобразование Боголюбова—Валатина, причем коэффициенты этого преобразования, в силу значительного преобладания энергии обменного взаимодействия над энергией релятивистских взаимодействий, окажутся достаточно большими, а это приведет к существенному увеличению коэффициентов связи между магнотонными и фононными возбуждениями, т. е. к усилению магнитоупругого взаимодействия.

Перейдем к представлению вторичного квантования в квадратичном приближении по операторам полей. Представляя поля векторов намагниченности подрешеток $\mathbf{M}^\alpha(\mathbf{x})$ операторами Гольштейна—Примакова, получим гамильтониан магнитной подсистемы в виде

$$\mathcal{H}_M = \frac{1}{2} \sum_{\alpha, \beta, \mathbf{k}} \{ A_k^{\alpha\beta} \widehat{a_{k\alpha}}^+ \widehat{a_{k\beta}} + B_k^{\alpha\beta} \widehat{a_{k\alpha}}^+ \widehat{a_{k\beta}}^+ + B_k^{*\alpha\beta} \widehat{a_{k\alpha}} \widehat{a_{k\beta}} + A_k^{*\alpha\beta} \widehat{a_{k\alpha}} \widehat{a_{k\beta}}^+ \}, \quad (5)$$

где

$$A_k^{\alpha\beta} = \mu M_0 V \left[\frac{1}{2} (K_{11}^{\alpha\beta} + K_{22}^{\alpha\beta} - iK_{12}^{\alpha\beta} + iK_{21}^{\alpha\beta}) - \delta^{\alpha\beta} \sum_{\gamma=1}^4 J_{33}^{\alpha\gamma} + \frac{\delta^{\alpha\beta}}{2M_0} (\mathbf{H}_0, \mathbf{e}_3^\alpha) \right], \quad (6)$$

$$B_k^{\alpha\beta} = \mu M_0 V \left[\frac{1}{2} (K_{11}^{\alpha\beta} - K_{22}^{\alpha\beta} + iK_{12}^{\alpha\beta} + iK_{21}^{\alpha\beta}) \right] \quad (7)$$

$$K_{pi}^{\alpha\beta} = \sum_{i,j,m,n} e_{pi}^\alpha (\widetilde{J}_{ij}^{\alpha\beta} + L_{imjn}^{\alpha\beta} k^m k^n) e_{ij}^\beta, \quad (8)$$

$$J_{33}^{\alpha\beta} = \sum_{i,j} e_{3i}^\alpha \widetilde{J}_{ij}^{\alpha\beta} e_{3j}^\beta, \quad (9)$$

\mathbf{H}_0 —внешнее постоянное магнитное поле, e_{1i}^α , e_{2i}^α , e_{3i}^α —орты в операторах Гольштейна—Примакова.

Магнитный кластер состоит из двух физически эквивалентных подкластеров. Первая и вторая подрешетки образуют один подкластер, а третья и четвертая подрешетки — другой. Взаимодействие подрешеток из одного подкластера одинаково для обоих подкластеров, это дает $\widetilde{J}_{ij}^{12} = \widetilde{J}_{ij}^{34}$. Кроме того, из свойств симметрии кристаллической решетки следует, что взаимодействие подрешеток, принадлежащих разным подкластерам, одинаково для всех комбинаций: $\widetilde{J}_{ij}^{13} = \widetilde{J}_{ij}^{23} = \widetilde{J}_{ij}^{14} = \widetilde{J}_{ij}^{24}$. С учетом этих равенств коэффициенты тензора $\widetilde{J}_{ij}^{\alpha\beta}$ определяются согласно системе инвариантов группы симметрии. Инварианты группы D_{4h} , составляющие взаимодействие магнитных подрешеток, следующие:

$$M_{1x}^2 + M_{1y}^2 + M_{2x}^2 + M_{2y}^2 + M_{3x}^2 + M_{3y}^2 + M_{4x}^2 + M_{4y}^2,$$

$$M_{1z}^2 + M_{2z}^2 + M_{3z}^2 + M_{4z}^2,$$

$$M_{1x} M_{2x} + M_{3x} M_{4x} + M_{1y} M_{2y} + M_{3y} M_{4y},$$

$$M_{1z} M_{2z} + M_{3z} M_{4z},$$

$$(M_{1x} + M_{2x})(M_{3x} + M_{4x}) + (M_{1y} + M_{2y})(M_{3y} + M_{4y}),$$

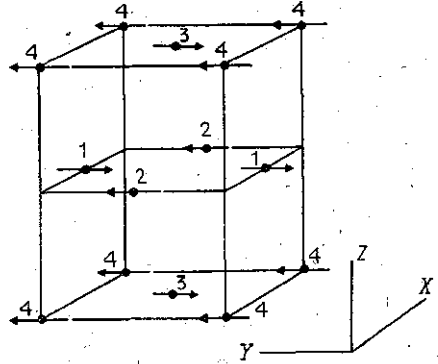
$$(M_{1z} + M_{2z})(M_{3z} + M_{4z}),$$

$$(M_{1x} + M_{2x})(M_{3y} + M_{4y}) - (M_{1y} + M_{2y})(M_{3x} + M_{4x}).$$

Однако у тензора обменного взаимодействия $\Gamma_{ij}^{\alpha\beta}$, в отличие от тензора $Q_{ij}^{\alpha\beta}$, отсутствует пространственная анизотропия, т. е. справедливы равенства $\Gamma_{xx}^{\alpha\beta} = \Gamma_{yy}^{\alpha\beta} = \Gamma_{zz}^{\alpha\beta}$. Выпишем компоненты тензора $\Gamma_{ij}^{\alpha\beta}$ в аналитическом виде:

$$\Gamma_{ij}^{\alpha\beta} = \delta_{ij} [\delta (\delta^{1\alpha}\delta^{2\beta} + \delta^{2\alpha}\delta^{1\beta} + \delta^{3\alpha}\delta^{4\beta} + \delta^{4\alpha}\delta^{3\beta}) + \sigma (\delta^{1\alpha}\delta^{3\beta} + \delta^{3\alpha}\delta^{1\beta} + \delta^{2\alpha}\delta^{4\beta} + \delta^{4\alpha}\delta^{2\beta} + \delta^{2\alpha}\delta^{3\beta} + \delta^{3\alpha}\delta^{2\beta} + \delta^{1\alpha}\delta^{4\beta} + \delta^{4\alpha}\delta^{1\beta})], \quad (10)$$

где δ — константа обменного взаимодействия подрешеток из одного подкластера, σ — константа обменного взаимодействия подрешеток, принадлежащих разным подкластерам. Подкластеры образуют в кристалле две неэквивалентные плоскости (рисунок).



Элементарная ячейка кристалла La_2CuO_4 . Цифрами обозначены номера магнитных подрешеток, содержащих атомы меди в качестве носителей магнитного момента

Введем в дальнейшем следующие обозначения:

$$\begin{aligned} Q_{ij} &= Q_{ij}^{11} = Q_{ij}^{22} = Q_{ij}^{33} = Q_{ij}^{44}, \\ Q'_{ij} &= Q_{ij}^{12} = Q_{ij}^{34} = Q_{ij}^{21} = Q_{ij}^{43}, \\ Q''_{ij} &= Q_{ij}^{13} = Q_{ij}^{23} = Q_{ij}^{14} = Q_{ij}^{24}. \end{aligned} \quad (11)$$

Приведем гамильтониан магнитной подсистемы к каноническому виду с помощью преобразований Боголюбова—Валатина; получим

$$\mathcal{H}_M = \sum_{\nu, \mathbf{k}} E_{\mathbf{k}\nu}^m \widehat{C}_{\mathbf{k}\nu}^+ \widehat{C}_{\mathbf{k}\nu}, \quad (12)$$

где энергии магнонов $E_{\mathbf{k}\nu}^m$ определяются положительными корнями уравнения

$$\det \begin{vmatrix} A_{\mathbf{k}}^{\alpha\beta} - \delta^{\alpha\beta} E_{\mathbf{k}\nu}^m & B_{\mathbf{k}}^{\alpha\beta} \\ \widehat{B}_{\mathbf{k}}^{\alpha\beta} & \widehat{A}_{\mathbf{k}}^{\alpha\beta} + \delta^{\alpha\beta} E_{\mathbf{k}\nu}^m \end{vmatrix} = 0. \quad (13)$$

Операторы $\widehat{C}_{\mathbf{k}\nu}^+$, $\widehat{C}_{\mathbf{k}\nu}$ описывают рождение и уничтожение нормальных мод магнонов.

Гамильтониан упругой подсистемы в представлении вторичного квантования имеет стандартный вид:

$$\mathcal{H}_U = \sum_{\mathbf{k}, s} \mathcal{E}_{\mathbf{k}s}^u \widehat{b}_{\mathbf{k}s}^+ \widehat{b}_{\mathbf{k}s}. \quad (14)$$

При этом энергия магнитоупругости дается выражением

$$\mathcal{H}_{MU} = \sum_{\alpha, s, \mathbf{k}} \{ \Psi_{\alpha s \mathbf{k}} \widehat{b}_{\mathbf{k}s} \widehat{c}_{-\mathbf{k}\alpha} + \Psi_{\alpha s \mathbf{k}}^* \widehat{b}_{\mathbf{k}s}^+ \widehat{c}_{-\mathbf{k}\alpha}^+ - \Psi_{\alpha s \mathbf{k}} \widehat{b}_{\mathbf{k}s}^+ \widehat{c}_{\mathbf{k}\alpha} - \Psi_{\alpha s \mathbf{k}}^* \widehat{b}_{\mathbf{k}s} \widehat{c}_{\mathbf{k}\alpha}^+ \}, \quad (15)$$

где

$$\Psi_{\alpha s \mathbf{k}} = M_0^{3/2} \left(\frac{\mu\nu}{\rho \mathcal{E}_{\mathbf{k}s}^u} \right)^2 \sum_{\beta, \gamma} e_{\beta \mathbf{k} m}^s k_n [b_{23mn}^{\gamma\beta} (u_{\gamma\alpha} - v_{\gamma\alpha}) + i b_{13mn}^{\gamma\beta} (u_{\gamma\alpha} + v_{\gamma\alpha})], \quad (16)$$

$$\widehat{b}_{\rho l m n}^{\alpha\beta} = \sum_{i, j} \widetilde{b}_{ijmn}^{\alpha\beta} e_{\rho i}^{\alpha} e_{l j}^{\beta}. \quad (17)$$

Рассмотрим случай коллинеарного антиферромагнитного упорядочения, при котором векторы первой и третьей подрешеток направлены в положительном направлении оси X , а векторы намагниченности второй и четвертой подрешеток — в противоположном. Внешнее постоянное магнитное поле направлено вдоль кристаллографической оси симметрии четвертого порядка, т. е. вдоль оси Z . В этом случае имеем

$$A_k^{\alpha\beta} = \frac{1}{2} \mu M_0 V \left[\left(\tilde{J}_{xx}^{\alpha\beta} (-1)^{\alpha+\beta} + \tilde{J}_{zz}^{\alpha\beta} + (L_{xnxn}^{\alpha\beta} (-1)^{\alpha+\beta} + L_{znzn}^{\alpha\beta}) k_n^2 - 2\delta^{\alpha\beta} \sum_{\gamma=1}^4 \tilde{J}_{xx}^{\alpha\gamma} (-1)^{\alpha+\gamma} \right) \right], \quad (18)$$

$$B_k^{\alpha\beta} = \frac{1}{2} \mu M_0 V \left[(\tilde{J}_{xx}^{\alpha\beta} (-1)^{\alpha+\beta} - \tilde{J}_{zz}^{\alpha\beta}) + (L_{xnxn}^{\alpha\beta} (-1)^{\alpha+\beta} - L_{znzn}^{\alpha\beta}) k_n^2 \right]. \quad (19)$$

Диагональные компоненты $A_k^{\alpha\alpha}$ имеют вид $A_k^{\alpha\alpha} = \mu M_0 V \gamma_k$, где

$$\gamma_k = \left[\frac{1}{2} (Q_{zz} - Q_{xx}) + Q_{xx} + \frac{1}{2} (L_{znzn} - L_{xnxn}) k_n^2 \right] + \delta. \quad (20)$$

Матрица

$$\left\| \begin{array}{cc} A_k^{\alpha\beta} & B_k^{\alpha\beta} \\ \tilde{B}_k^{\alpha\beta} & \tilde{A}_k^{\alpha\beta} \end{array} \right\| \cong \mu M_0 V \left\| \begin{array}{cccccccc} \gamma_k & 0 & \sigma & 0 & 0 & -\delta & 0 & -\sigma \\ 0 & \gamma_k & 0 & \sigma & -\delta & 0 & -\sigma & 0 \\ \sigma & 0 & \gamma_k & 0 & 0 & -\sigma & 0 & -\delta \\ 0 & \sigma & 0 & \gamma_k & -\sigma & 0 & -\delta & 0 \\ 0 & -\delta & 0 & -\sigma & \gamma_k & 0 & \sigma & 0 \\ -\delta & 0 & -\sigma & 0 & 0 & \gamma_k & 0 & \sigma \\ 0 & -\sigma & 0 & -\delta & \sigma & 0 & \gamma_k & 0 \\ -\sigma & 0 & -\delta & 0 & 0 & \sigma & 0 & \gamma_k \end{array} \right\|. \quad (21)$$

Здесь мы пренебрегаем величинами: Q'_{ij} , Q''_{ij} , L'_{ij} , L''_{ij} в недиагональных элементах матрицы (21), так как справедливы неравенства

$$\begin{aligned} Q'_{ij} \ll \delta, \quad Q''_{ij} \ll \sigma, \quad Q'_{ij} \ll \delta, \quad Q''_{ij} \ll \sigma, \\ L'_{ij} \ll \delta, \quad L''_{ij} \ll \sigma, \quad L'_{ij} \ll \delta, \quad L''_{ij} \ll \sigma. \end{aligned} \quad (22)$$

В этом приближении энергии магновов следующие:

$$\begin{aligned} E_{k1}^m = E_{k3}^m = \mu M_0 V \sqrt{(\gamma_k - \delta)(\gamma_k + \delta + 2\sigma)}, \\ E_{k2}^m = E_{k4}^m = \mu M_0 V \sqrt{(\gamma_k - \delta)(\gamma_k + \delta - 2\sigma)}. \end{aligned} \quad (23)$$

Компоненты $b_{23mn}^{\alpha\beta}$, $b_{13mn}^{\alpha\beta}$ тензора магнитострикции, отличные от нуля, таковы:

$$b_{13xy}^{\alpha\beta} = \tilde{b}_{yxxy}^{\alpha\beta} (-1)^{\alpha+\beta}, \quad b_{23zx}^{\alpha\beta} = \tilde{b}_{zxzx}^{\alpha\beta} (-1)^{\beta+1}. \quad (24)$$

Подставляя равенства (24) в формулы (16), получим следующий вид коэффициентов магн-фононной связи:

$$\begin{aligned} \Psi_{1s,k} = M_0^{3/2} \left(\frac{2\mu V}{\rho \otimes_{ks}^u} \right)^{1/2} \left(\frac{\gamma_k + \delta + 2\sigma}{\gamma_k - \delta} \right)^{1/4} \{ (b_{zxzx} - b'_{zxzx}) (e_{kz}^s k_x + e_{kx}^s k_z) + \\ + i (b_{yxxy} - b'_{yxxy}) (e_{kx}^s k_y + e_{ky}^s k_x) \}, \end{aligned}$$

$$\Psi_{2s,k} = \Psi_{4s,k} = 0,$$

$$\Psi_{3s,k} = -\Psi_{1s,k}^*,$$

$$\tilde{b}_{ijmn} = \tilde{b}_{ijmn}^{11} = \tilde{b}_{ijmn}^{22} = \tilde{b}_{ijmn}^{33} + \tilde{b}_{ijmn}^{44},$$

$$\tilde{b}'_{ijmn} = \tilde{b}_{ijmn}^{12} = \tilde{b}_{ijmn}^{34} = \tilde{b}_{ijmn}^{21} = \tilde{b}_{ijmn}^{43},$$

где γ_k определяется равенством (20), следовательно, величина

$$\left(\frac{\gamma_k + \delta + 2\sigma}{\gamma_k - \delta} \right) \approx \frac{4(\delta + \sigma)}{Q_{zz} - Q_{xx} + 2Q'_{xx} + (L_{znzn} - L_{xnxn}) k_n^2} \gg 1,$$

т. е. связь соответствующих магнонов с фононами достаточно сильная.

Итак, в рассмотренном случае в кристалле могут существовать магнонные возбуждения двух видов: 1) сильно связанные с фононами, 2) не связанные с фононами (в приближении, определенном неравенствами (22)).

Энергии магнонов, сильно связанных с фононами, таковы:

$$E_{k1}^m = E_{k3}^m = \mu M_0 V \left\{ (\Delta_1^m)^2 + (\delta + \sigma) (L_{znzn} - L_{xnxn}) k_n^2 + \frac{1}{4} (L_{znzn} - L_{xnxn})^2 k_n^4 \right\}^{\frac{1}{2}}.$$

Энергии магнонов, не связанных с фононами, следующие:

$$E_{k2}^m = E_{k4}^m = \mu M_0 V \left\{ (\Delta_2^m)^2 + (\delta - \sigma) (L_{znzn} - L_{xnxn}) k_n^2 + \frac{1}{4} (L_{znzn} - L_{xnxn})^2 k_n^4 \right\}^{\frac{1}{2}},$$

где

$$\mu M_0 V \Delta_1^m = \mu M_0 V \Delta_3^m = \mu M_0 V \sqrt{(Q_{zz} - Q_{xx} + 2Q'_{xx})(\delta + \sigma)},$$

$$\mu M_0 V \Delta_2^m = \mu M_0 V \Delta_4^m = \mu M_0 V \sqrt{(Q_{zz} - Q_{xx} + 2Q'_{xx})(\delta - \sigma)}$$

— энергии активации соответствующих магнонных ветвей.

Заключение

1. В рассмотренном тетрагональном кристалле La_2CuO_4 в магнитоупорядоченном (антиферромагнитном) состоянии существуют магноны, сильно связанные с фононами. Большая величина этой связи обусловлена нерелятивистским обменным взаимодействием между магнитными подрешетками кристалла.

2. Гамильтониан кристалла был исследован в данной работе только в квадратичном приближении. Если в полном гамильтониане кристалла учесть члены третьего и четвертого порядков по операторам полей, то получим описание нелинейного магнитоупругого взаимодействия, которое в силу исследованной выше структуры взаимодействия магнитных подрешеток окажется значительным и может привести к наблюдаемым эффектам.

ЛИТЕРАТУРА

- [1] Савченко М. А. // ФТТ. 1964. 6. С. 864. [2] Савченко М. А., Стефанович А. В. Флуктуационная сверхпроводимость магнитных систем. М., 1986. [3] Ильичев В. И., Савченко М. А., Стефанович А. В. Высокотемпературная сверхпроводимость керамических систем. М., 1992.

Поступила в редакцию
22.11.93

ВЕСТН. МОСК. УН-ТА. СЕР. 3, ФИЗИКА. АСТРОНОМИЯ. 1994. Т. 35, № 3

УДК 534.222:537.625

НЕЛИНЕЙНОЕ ВСТРЕЧНОЕ ВЗАИМОДЕЙСТВИЕ МАГНИТОУПРУГИХ ВОЛН В ФЕРРИТАХ

Л. К. Зарембо, С. Н. Карпачев, В. Н. Польченко, А. И. Яфасов
(кафедра акустики)

Приведены данные экспериментальных работ по изучению распространения магнитоупругих волн в монокристаллах марганец-цинковых шпинелей. Описан автоматизированный магнитоакустический спектрометр, применяющийся в эксперименте. Обнаружено, что сигнал спинового отклика встречных магнитоупругих волн в условиях магнитоакустического резонанса увеличивается на несколько порядков. Впервые обнаружено явление автосвертки одиночного магнитоупругого импульса. Обсуждаются вопросы применения полученных результатов в целях дефектоскопии магнитоупорядоченных материалов.

Ранее были получены экспериментальные и теоретические результаты [1, 2], показавшие, что в области магнитоакустического резонанса (МАР) повышается эффективность генерации высших гармоник магнитоупругой волны. Само явление МАР заключается в синхронном взаимодействии упругой и спиновой волны в определенной области внешних магнитных полей и проявляется в увеличении эффективной акустической нелинейности и затухания. Особенно ярким примером резонансного повышения нелинейности является МАР в железиттриевом гранате (ЖИГ) [3], в котором она возрастает на 5—6 порядков по сравнению с нерезонансным значением, характерным для большинства твердых тел. Встречное взаимодействие магнитоупругих волн, однако, до сих пор исследовалось лишь в нерезонансных областях [4, 5]. Между тем вполне логичным был вывод о том, что в условиях МАР такое взаимодействие наиболее эффективно. Тем не менее это не очевидно и влияние резонанса на эффективность процесса неоднократно подвергалось сомнению.

Для неэллиптических образцов из-за неоднородности внутреннего поля условия МАР достигаются локально, и, как показано в [6], в этих локализованных резонансных областях при низкочастотном МАР (десятки МГц) еще сохраняется развитая доменная структура. Согласно [6], для 180°-доменной структуры резонансные области для лево- и правополяризованных магнитоупругих волн (в которых вектор поляризации вращается соответственно против и по часовой стрелке в направлении волнового вектора \mathbf{k}) для фиксированного значения внешнего поля разнесены в пространстве и находятся в доменах различного знака. Поскольку обычно в эксперименте используются волны с линейной поляризацией, то, следовательно, для двух поляризационных ком-